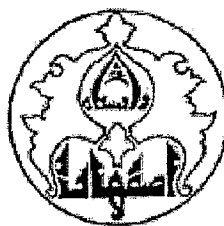


الله

١١٨٨

۸۷/۱/۱۰۷۲۷

۸۷/۱۲/۲۱



دانشگاه اصفهان

دانشکده علوم

گروه فیزیک

پایان نامه کارشناسی ارشد رشته فیزیک گرایش ماده چگال

تهیه مکانو شیمیایی گارت ایتریوم - آهن جانشانی شده با ایندیوم نانومتری و
مطالعه ویژگی های مغناطیسی آن

پیش از افلاحت امکن محقق پژوه

استاد راهنما:

دکتر جمشید عمیقیان

۱۳۸۷ / ۱۲ / ۲۱

پژوهشگر:

ناهید شیری

خرداد ماه ۱۳۸۷

۱۱۰۷۲۳

کلیه حقوق مادی مترتب بر نتایج مطالعات، ابتکارات
و نوآوری های ناشی از تحقیق موضوع این پایان نامه
متعلق به دانشگاه اصفهان است.

پیووه کلار شری پایان نامه
رعایت شده است
تحصیلات تکمیلی دانشگاه اصفهان



دانشگاه اصفهان

دانشکده علوم

گروه فیزیک

پایان نامه‌ی کارشناسی ارشد رشته‌ی فیزیک گرایش ماده چگال خانم ناهید شیری

تحت عنوان

تهیه مکانوشیمیایی گارفت ایتریوم_آهن جانشانی شده با ایندیوم نانومتری و مطالعه

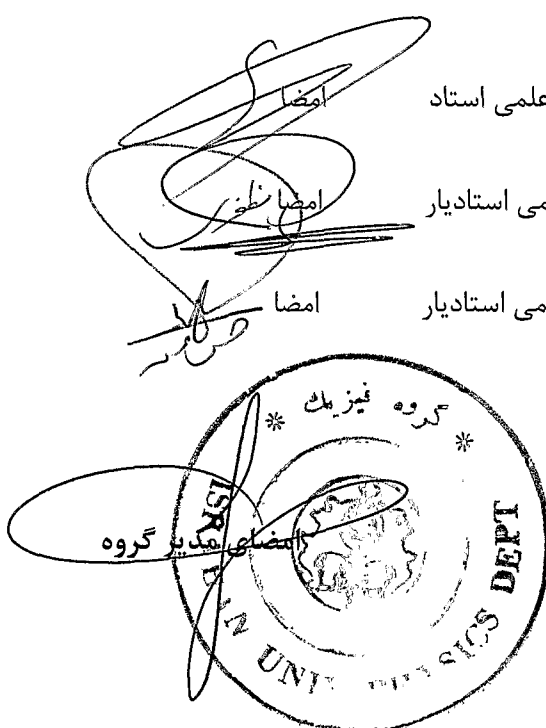
ویژگی‌های مغناطیسی آن

در تاریخ ۸۷/۳/۲۹ توسط هیأت داوران زیر بررسی و با درجه عالی به تصویب نهایی رسید.

۱- استاد راهنمای پایان نامه دکتر جمشید عمیقیان با مرتبه‌ی علمی استاد

۲- استاد داور داخل گروه دکتر مرتضی مظفری با مرتبه‌ی علمی استادیار

۳- استاد داور خارج از گروه دکتر احمد حسن پور با مرتبه‌ی علمی استادیار



ستایش خداوندی را سزاست که نشانه‌های قدرت و بزرگی و عظمت خود را چنان آشکار کرد که دیده‌ها را از شگفتی قدرتش به حیرت آورده و اندیشه‌های بلند را از شناخت ماهیت صفاتش باز داشته است.

نهج البلاغه، ترجمه‌ی خطبه‌ی ۱۹۵

خداوندا مرا همین بس که تو خالقی و این بنده مخلوق تو.
چگونه شکر نعمت‌های بی‌پایان را به جا آرم درحالی که خود می‌دانم از عهده‌ی انجام آن ناتوانم.
سپاس تو را که شایسته‌ی حمد و سپاسی؛ یاریم فرما تا من نیز شایسته‌ی بندگی تو باشم.

خدای بزرگ را سپاس می‌گویم که این بار نیز همانند همیشه بر من منت نهاد و مرا در انجام این کار پژوهشی یاری رسانید.

راهنمایی‌های ارزشمند استاد گرانقدر جناب آقای دکتر عمیقیان را ارج می‌نمهم.
از یاری‌ها، همدلی‌ها و مهربانی‌های دوستان عزیزی که مرا در این راه یاری رساندند سپاسگزارم، موقیت روزافرونشان را از درگاه خداوند بزرگ خواهانم.

حمایت‌ها و همراهی‌های خانواده‌ام در تمامی مراحل امید بخش زندگی ام است؛ از کمک‌های بی‌دریغشان سپاسگزارم.

ناهید شیری

خرداد ۱۳۸۷

تقدیم به

پدر و مادر عزیزم

چکیده

در این پژوهش گارنت ایتریوم-آهن جانشانی شده با ایندیوم ($Y_3Fe_{5-x}In_xO_{12}$) حجمی برای مقادیر گوناگون ایندیوم ($x=0.1, 0.2, 0.3, 0.4$) به روش متداول سرامیکی تهیه گردید. منحنی پسماند مغناطیسی نمونه‌ها در دمای اتاق توسط مغناطش سنج نمونه‌ی ارتعاشی (VSM) به دست آمد. دمای کوری نمونه‌ها توسط ترازوی فاراده اندازه گیری شد. برای تحلیل نتایج حاصل، از بیناب سنجی موسبائر استفاده شد.

داده‌های مربوط به بیناب سنجی موسبائر نشان داد که در گارنت ایتریوم-آهن، یون‌های In^{+3} تمایل به اشغال جایگاه‌های هشت وجهی دارند.

برای تهیه‌ی پودرهای نانومتری گارنت ایتریوم-آهن جانشانی شده با ایندیوم، دو فرآیند مکانوشیمیایی و متداول سرامیکی همراه با آسیاب کاری پرانرژی انتخاب شد. پس از تهیه‌ی نمونه‌ها به روش متداول سرامیکی، آنها را تحت عملیات آسیاب کاری پرانرژی به مدت $5/1$ ساعت قرار دادیم. الگوهای XRD نشان داد با افزایش زمان آسیاب-کاری ابعاد بلورک‌های نمونه کاهش می‌یابد. مغناطش اشباعی و نیروی وادارندگی آنها با استفاده از منحنی B-H که توسط دستگاه پرمیامتر به دست آمد، اندازه گیری شد.

نتایج حاصل از اندازه گیری‌ها نشان داد که نیروی وادارندگی نمونه‌های نانومتری نسبت به همتای حجمی آن بیشتر است و این نیرو با کوچک‌تر شدن اندازه ذرات افزایش می‌یابد. این تغییرات با استفاده از مدل ولفارث-استونر توجیه شد. مغناطش اشباعی نمونه‌های نانومتری نسبت به همتای حجمی آن کمتر است و با کوچک‌تر شدن اندازه ذرات کاهش می‌یابد. این کاهش با استفاده از مدل پوسته-هسته توضیح داده شد. دمای کوری نمونه‌های حجمی و نانومتری با افزایش جانشانی ایندیوم کاهش می‌یابد که این کاهش با توجه به کاهش نیروهای ابرتبارلی بر اثر جانشانی یون In^{+3} توجیه شد. ثابت‌های شبکه‌ی نمونه‌ها نیز با کوچک‌تر شدن اندازه ذرات افزایش یافت. این افزایش نامغناطیسی Fe^{+3} به نیروی دافعه‌ی گشتاورهای دو قطبی در سطح ذرات و همچنین جبران تهی‌جاها توسط تشکیل Fe^{+2} به جای Fe^{+3} نسبت داده شد. روند کاهشی یا افزایشی مغناطش اشباعی بر حسب مقدار ایندیوم جانشانی شده در نمونه‌های نانومتری و حجمی متفاوت است. این اختلاف با توجه به آسیاب کاری پرانرژی و ایجاد تنفس‌های بیشتر در ذرات و در نتیجه تغییر زوایای پیوند توجیه شد.

واژه‌های کلیدی: بیناب سنجی موسبائر، پودرهای نانومتری، فرآیند مکانوشیمیایی، گارنت ایتریوم-آهن، مغناطش اشباعی، نیروی وادارندگی.

فهرست مطالب

عنوان	صفحة
فصل اول: گارنت‌ها	
۱-۱ ساختار بلوری گارنت	۲
۲-۱ گارنت‌های مغناطیسی	۴
۳-۱ گارنت ایتریوم آهن YIG	۵
۱-۳-۱ ساختار بلوری گارنت ایتریوم-آهن	۵
۲-۳-۱ ساختار مغناطیسی گارنت ایتریوم-آهن	۵
۱-۳-۱ دمای کوری گارنت ایتریوم-آهن	۶
۴-۳-۱ مغناطش گارنت ایتریوم-آهن	۹
۴-۱ گارنت‌های خاکی کمیاب	۱۲
۱-۵-۱ ساختار بلوری گارنت‌های خاکی کمیاب	۱۳
۲-۵-۱ ساختار مغناطیسی گارنت‌های خاکی کمیاب	۱۳
۳-۵-۱ دمای کوری گارنت‌های خاکی کمیاب	۱۳
۴-۵-۱ مغناطش گارنت‌های خاکی کمیاب	۱۷
۵-۱ دمای جبران	۱۸
فصل دوم: گارنت‌های مغناطیسی جانشانی شده	
۱-۲ جانشانی کاتیون‌ها	۲۱
۲-۲ انتخاب جایگاهی	۲۴
۳-۲ محلول‌های جامد	۲۶
۴-۲ برهمکنش یون‌های مغناطیسی و جایگزینی آن‌ها در YIG	۲۷
۵-۲ آمار برهمکنش مغناطیسی یون Fe^{3+} در گارنت‌های ایتریوم آهن جانشانی شده	۲۹
۶-۲ مغناطش گارنت‌های جانشانی شده	۳۲
۷-۲ دمای کوری گارنت‌های جانشانی شده	۳۳
۸-۲ مروری بر گارنت‌های جانشانی شده	۳۴
۱-۸-۲ گارنت‌های ایتریوم-آهن جانشانی شده با Ce^{3+} و Gd^{3+}	۳۵

عنوان

صفحه

۳۵.....	۱-۱-۸-۲ جانشانی یون‌های Ce^{3+} در YIG
۳۶.....	۲-۱-۸-۲ جانشانی یون‌های Gd^{3+} در YIG
۳۷.....	۲-۸-۲ گارنت‌های ایتریوم-آهن جانشانی شده با Al^{3+}
۳۸.....	۳-۸-۲ گارنت‌های ایتریوم-آهن جانشانی شده با Sm^{3+}
۴۰.....	۴-۸-۲ گارنت‌های ایتریوم-آهن جانشانی شده با Bi^{3+}

فصل سوم: فناوری نانو و تأثیر اندازه بر ویژگی‌های مغناطیسی مواد

۴۳.....	۱-۳ بستگی ویژگی‌های بنیادی ماده به ابعاد آن
۴۴.....	۱-۲-۳ بستگی ویژگی‌های مغناطیسی به اندازه‌ی ذره
۴۴.....	۲-۲-۳ تغییر مغناطش اشباعی
۴۵.....	۲-۲-۳ تغییر وادارندگی
۴۶.....	۳-۳ تأثیر اندازه‌ی ذره بر ویژگی‌های مغناطیسی گارنت ایتریوم-آهن
۴۶.....	۱-۳-۳ تأثیر اندازه‌ی ذره بر مغناطش اشباعی گارنت ایتریوم-آهن
۴۸.....	۲-۳-۳ تأثیر اندازه‌ی ذره بر وادارندگی گارنت ایتریوم-آهن
۴۹.....	۴-۳ تأثیر اندازه‌ی ذره بر ثابت شبکه‌ی گارنت ایتریوم-آهن
۵۱.....	۵-۳ روش‌های گوناگون تهیه‌ی ذرات نانومتری
۵۱.....	۱-۵-۳ روش‌های تهیه از فاز بخار
۵۱.....	۱-۱-۵-۳ روش رسوب گیری فیزیکی از فاز گازی (PVD)
۵۲.....	۲-۱-۵-۳ چگالش گاز خنثی
۵۲.....	۳-۱-۵-۳ روش رسوب گیری شیمیایی از فاز گازی (CVD)
۵۳.....	۴-۱-۵-۳ پاشش شعله‌ی احتراقی
۵۳.....	۵-۱-۵-۳ قوس پلاسمای
۵۳.....	۵-۳ روش‌های تهیه از فاز مایع
۵۳.....	۱-۵-۳ روش حلال‌های آبی
۵۴.....	۲-۵-۳ روش‌های غیر آبی
۵۴.....	۳-۵-۳ روش هیدرولیز
۵۴.....	۴-۵-۳ روش همرسوبی شیمیایی

۵۵.....	روش هیدرورتمال.....۳-۵-۵
۵۵.....	روش نمک‌های مذاب.....۳-۵-۶
۵۵.....	روش سل-ژل.....۳-۵-۷
۵۶.....	روش‌های تهیه از فاز جامد.....۳-۵-۵
۵۶.....	روش متداول سرامیکی.....۳-۵-۱
۵۶.....	روش آلیاژسازی.....۳-۵-۲
۵۷.....	روش مکانوشیمیایی.....۳-۵-۳

فصل چهارم: فرآیند مکانوشیمیایی (MCP)

۶۰.....	۴-۱ مفاهیم ترمودینامیکی.....
۶۵.....	۴-۲ پارامترهای فرآیند.....
۶۵.....	۴-۱-۲ دمای آسیاب‌کاری.....
۶۵.....	۴-۲-۲ نسبت وزنی گلوله به پودر.....
۶۷.....	۴-۲-۳ سهم نسبی واکنش‌گرها.....
۶۷.....	۴-۲-۴ قطر گلوله‌های ساینده.....
۶۸.....	۴-۳ تشكیل فاز.....
۶۹.....	۴-۴ واکنش احتراقی.....
۷۰.....	۴-۵ سازوکار واکنش.....
۷۱.....	۴-۱-۵ نظریه‌های گرمایی.....
۷۲.....	۴-۲-۵ واکنش‌های ایجاد شده توسط اصطکاک‌های برشی.....
۷۲.....	۴-۳-۵ نظریه‌ی حالت‌های فعال سطحی.....
۷۲.....	۴-۶ سنتز مکانیکی سرامیک‌ها و نانو کامپوزیت‌ها.....

فصل پنجم: فرآیندهای آزمایشی

۷۵.....	۵-۱ شرح وسایل.....
۷۶.....	۵-۱-۱ ترازوی دیجیتالی.....
۷۶.....	۵-۱-۲ هاون دستی.....

صفحه	عنوان
۷۶	۳-۱-۵ کوره‌ها
۷۶	۱-۳-۱-۵ کوره‌ی لوله‌ای
۷۷	۲-۳-۱-۵ کوره‌ی الکتریکی قابل برنامه ریزی
۷۷	۴-۱-۵ آسیاب‌ها
۷۷	۱-۴-۱-۵ آسیاب گلوله‌ای اسپکس
۷۸	۲-۴-۱-۵ آسیاب سیاره‌ای فریتش
۷۸	۵-۱-۵ پرس هیدرولیکی
۷۹	۶-۱-۵ قالب
۸۰	۷-۱-۵ دستگاه پراش سنج پرتو ایکس
۸۰	۸-۱-۵ دستگاه مغناطش سنج نوسانی (VSM)
۸۰	۹-۱-۵ بیناب سنج موسبائر
۸۱	۱۰-۱-۵ پرمیامتر
۸۲	۱۱-۱-۵ ترازوی فاراده
۸۲	۲-۵ مواد خام مورد استفاده
۸۳	۳-۵ روش تهیه‌ی پودرهای حجمی $Y_3Fe_{5-x}In_xO_{12}$
۸۳	۴-۵ روش تهیه‌ی پودرهای نانومتری $Y_3Fe_{5-x}In_xO_{12}$
۸۳	۱-۴-۵ روش مکانوشیمیایی
۸۴	۲-۴-۵ روش متداول سرامیکی و آسیاب‌کاری مکانیکی
۸۴	۵-۵ تهیه‌ی پودرهای In-YIG به روش متداول سرامیکی
۸۴	۱-۵-۵ محاسبه و تعیین مقدار استوکیومتری
۸۵	۲-۵-۵ عملیات مخلوط سازی
۸۶	۳-۵-۵ عملیات گرمایی
۸۶	۶-۵ تهیه‌ی پودرهای In-YIG به روش مکانوشیمیایی
۸۶	۱-۶-۵ محاسبه و تعیین مقدار استوکیومتری و تصحیح آن
۸۶	۲-۶-۵ مرحله‌ی آسیاب‌کاری
۸۶	۱-۲-۶-۵ انتخاب زمان آسیاب‌کاری
۸۷	۲-۲-۶-۵ انتخاب نسبت وزنی گلوله به پودر

عنوان

صفحه

۳-۶-۵ عملیات گرمایی.....	۸۷
۴-۶ آسیاب کاری مجدد.....	۸۷
۷-۵ تهیهٔ پودرهای In-YIG به روش متداول سرامیکی و آسیاب کاری مکانیکی.....	۸۸
۱-۷-۵ تهیهٔ پودرهای In-YIG.....	۸۸
۲-۷-۵ مرحله‌ی آسیاب کاری.....	۸۸
۱-۲-۷-۵ انتخاب زمان آسیاب کاری.....	۸۸
۲-۲-۷-۵ انتخاب نسبت وزنی گلوله به پودر.....	۸۸

فصل ششم: نتایج و بحث

۱-۶ اندازه‌گیری‌های مربوط به گارنت‌های ایتریوم-آهن جانشانی شده با ایندیوم حجمی تهیه شده به روش متداول سرامیکی.....	۹۱
۱-۱-۶ نتایج به دست آمده از پراش پرتو ایکس.....	۹۱
۱-۱-۱-۶ تأثیر جانشانی ایندیوم بر ثابت شبکه گارنت ایتریوم-آهن.....	۹۲
۲-۱-۶ نتایج به دست آمده از منحنی‌های مغناطش بر حسب دما.....	۹۳
۳-۱-۶ نتایج به دست آمده از منحنی‌های پسماند مغناطیسی (VSM).....	۹۴
۳-۱-۶ نتایج به دست آمده از بیناب‌سنجدی موسبائی.....	۹۶
۲-۶ اندازه‌گیری‌های مربوط به گارنت‌های ایتریوم-آهن جانشانی شده با ایندیوم نانومتری تهیه شده به روش مکانوشیمیایی.....	۹۸
۱-۲-۶ نتایج به دست آمده از پراش پرتو ایکس.....	۹۸
۱-۲-۱-۶ تأثیر جانشانی ایندیوم بر ثابت شبکه گارنت ایتریوم-آهن.....	۱۰۱
۱-۲-۲-۶ محاسبه‌ی میانگین اندازه‌ی بلورک‌ها.....	۱۰۱
۲-۲-۶ نتایج به دست آمده از منحنی‌های مغناطش بر حسب دما.....	۱۰۲
۳-۲-۶ نتایج به دست آمده از منحنی‌های پسماند مغناطیسی (M-H).....	۱۰۳
۳-۶ اندازه‌گیری‌های مربوط به گارنت‌های ایتریوم-آهن جانشانی شده با ایندیوم نانومتری تهیه شده به روش متداول سرامیکی همراه با آسیاب کاری.....	۱۰۵
۱-۶-۱ نتایج به دست آمده از پراش پرتو ایکس.....	۱۰۵
۱-۳-۶-۱ تأثیر جانشانی ایندیوم بر ثابت شبکه گارنت ایتریوم-آهن.....	۱۰۶

عنوان

صفحه

۱۰۷.....	۱-۳-۶ محاسبه‌ی میانگین اندازه‌ی بلورک‌ها
۱۰۸.....	۲-۳-۶ نتایج به دست آمده از منحنی‌های مغناطش بر حسب دما
۱۰۹.....	۳-۳-۶ نتایج به دست آمده از منحنی‌های پسماند مغناطیسی (M-H)
۱۱۱.....	۴-۶ مقایسه‌ی ویژگی‌های نمونه‌های حجمی و نانومتری

فهرست شکل‌ها

عنوان	صفحه
شکل ۱-۱ موقعیت کاتیون‌ها در جایگاه‌های a و d	۲
شکل ۱-۲ کاتیون‌ها در یک صفحه از شبکه‌ی گارنت	۳
شکل ۱-۳ وارون پذیرفتاری به صورت تابعی از دما در بالای T_{FN} برای GdIG و YIG	۶
شکل ۱-۴ وارون پذیرفتاری به صورت تابعی از دما مربوط به گارنت‌های Dy و Gd	۱۶
شکل ۱-۵ مقادیر تجربی مغناطش ذاتی گارنت‌های ساده‌ی گوناگون به صورت تابعی از دما	۱۷
شکل ۱-۶ مغناطش زیرشبکه‌های GdIG در واحد فرمولی به صورت تابعی از دما	۱۸
شکل ۱-۷ کسر f_t یون‌های Al^{3+} در جایگاه‌های چهاروجهی $Y_3Fe_{5-x}Al_xO_{12}$ بر حسب x	۲۵
شکل ۱-۸ کسر f_t یون‌های Ga^{3+} در جایگاه‌های چهاروجهی $Y_3Fe_{5-x}Ga_xO_{12}$ بر حسب x	۲۵
شکل ۱-۹ ثابت شبکه‌ی a بر حسب x برای $Y_3Al_{5-x}Ga_xO_{12}$	۲۷
شکل ۲-۱ تغییرات نظری و تجربی دمای کوری و گشتاور مغناطیسی در $0^{\circ}K$ مربوط به گارنت‌های $\{Y_3\}[Fe_{2-y}M_y](Fe_3)O_{12}$ به طوری‌که $M=Sn,Zr$	۳۲
شکل ۲-۲ الف- تغییرات مغناطش اشباعی (M_S) بر حسب اندازه‌ی ذره (D) ب- مغناطش اشباعی (M_S) بر حسب غلظت Gd	۳۶
شکل ۲-۳ مغناطش اشباعی (M_S) بر حسب غلظت Al	۳۷
شکل ۲-۴ مغناطش اشباعی (M_S) بر حسب غلظت Sm	۳۹
شکل ۲-۵ مغناطش اشباعی (M_S) بر حسب غلظت Bi	۴۰
شکل ۲-۶ ضخامت t مربوط به لایه‌ی مرده برای یک ذره‌ی کروی به قطر D	۴۴
شکل ۲-۷ تغییرات مغناطش اشباعی بر حسب میانگین اندازه‌ی ذرات در دمای اتاق	۴۷
شکل ۲-۸ مغناطش اشباعی به صورت تابعی از دما	۴۸
شکل ۲-۹ وادارندگی اندازه‌گیری شده در دمایان متفاوت بر حسب $D^{-3/2}$	۴۸
شکل ۲-۱۰ وادارندگی بهنجارشده $\frac{H_C}{H_C^0}$ به صورت تابعی از میانگین اندازه‌ی ذرات	۴۹
شکل ۳-۱ منحنی M-H نانوذرات YIG در دمای ۳۰۰ کلوین	۵۰
شکل ۳-۲ طرح وارهای از وقوع واکنش شیمیایی میان دو مؤلفه‌ی اکسید فلزی (MO) و احیاگر R در واکنش‌های مکانوشیمیایی	۶۰

عنوان

صفحه

شکل ۲-۴ تغییرات دمای مخزن آسیاب طی آلیاژسازی مکانیکی.....	۶۳
شکل ۳-۴ نمایش طرح وارهی منحنی دما-زمان در طی یک واکنش SHS.....	۶۳
شکل ۴-۴ تأثیر نسبت وزنی گلوله به پودر و دمای آسیاب کاری بر روی زمان مورد نیاز برای تهییه تیتانیوم طی احیاء $TiCl_4$ با.....	۶۶
شکل ۵-۴ تأثیر زمان آسیاب کاری بر روی سرعت های واکنش طی احیاء CuO با گرافیت.....	۶۸
شکل ۶-۴ نمایش طرح وارهی تغییرات T_g و T_c با زمان آسیاب کاری.....	۷۰
شکل ۱-۵ ترازوی دیجیتالی.....	۷۶
شکل ۲-۵ کوره‌ی الکتریکی قابل برنامه ریزی.....	۷۷
شکل ۳-الف- آسیاب اسپیکس مدل 8000M ب- آسیاب سیارهای فریتیش.....	۷۸
شکل ۴-۵ پرس هیدرولیکی.....	۷۹
شکل ۵-۵ نمایی از سمبه و ماتریس یک قالب.....	۷۹
شکل ۶-۵ اجزاء مختلف دستگاه پرمیامتر.....	۸۱
شکل ۱-۶ الگوهای پراش پرتو ایکس مربوط به نمونه‌های $Y_3Fe_{4.9}In_{0.1}O_{12}$ پخت داده شده در دماهای گوناگون.....	۹۱
شکل ۲-۶ الگوهای پراش پرتو ایکس مربوط به گارنت‌های ایتریوم-آهن جانشانی شده با ایندیوم ($Y_3Fe_{5-x}In_xO_{12}$) پخت داده شده در دمای ۱۳۵۰ درجه‌ی سانتی‌گراد.....	۹۲
شکل ۳-۶ نمودار تغییرات ثابت شبکه‌ی $Y_3Fe_{5-x}In_xO_{12}$ تهییه شده به روش متداول سرامیکی بر حسب مقدار ایندیوم جانشانی شده (X).....	۹۳
شکل ۴-۶ منحنی‌های مغناطیش بر حسب دمای مربوط به نمونه‌های حجمی برای مقادیر X برابر با الف-0.1، ب-0.2، ج-0.3، د-0.4.....	۹۳
شکل ۵-۶ نمودار تغییرات دمای کوری (T_C) نمونه‌ی $Y_3Fe_{5-x}In_xO_{12}$ تهییه شده به روش متداول سرامیکی بر حسب مقدار ایندیوم (x).....	۹۴
شکل ۶-۶ منحنی‌های پسماند مغناطیسی مربوط به نمونه‌های $Y_3Fe_{5-x}In_xO_{12}$ برای Xهای گوناگون، تهییه شده به روش متداول سرامیکی.....	۹۵
شکل ۷-۶ تغییرات مغناطیش اشباعی (M_S) نمونه‌های $Y_3Fe_{5-x}In_xO_{12}$ تهییه شده به روش متداول سرامیکی بر حسب مقدار ایندیوم (x).....	۹۶

عنوان

صفحه

- شکل ۸-۶ بیناب موسبائر مربوط به نمونه‌های $Y_3Fe_{5-x}In_xO_{12}$ تهیه شده به روش متداول سرامیکی.....
۹۶
- شکل ۹-۶ تغییرات میدان فوق ریز جایگاه‌های a و d_{12} $Y_3Fe_{5-x}In_xO_{12}$ بر حسب مقدار ایندیوم.....
۹۷
- شکل ۱۰-۶ الگوی پراش پرتو ایکس مربوط به نمونه‌ی $Y_3Fe_{4.8}In_{0.2}O_{12}$ پس از ۱۰ ساعت آسیاب‌کاری....
۹۹
- شکل ۱۱-۶ الگوهای پراش پرتو ایکس مربوط به نمونه‌ی $Y_3Fe_{4.8}In_{0.2}O_{12}$ پس از پخت در دماهای
گوناگون.....
۹۹
- شکل ۱۲-۶ الگوی پراش پرتو ایکس مربوط به نمونه‌ی $Y_3Fe_{4.8}In_{0.2}O_{12}$ پس از آسیاب‌کاری مجدد.....
۱۰۰
- شکل ۱۳-۶ الگوهای پراش پرتو ایکس مربوط به گارنت‌های ایتریوم-آهن جانشانی شده با ایندیوم
($Y_3Fe_{5-x}In_xO_{12}$) پس از آسیاب‌کاری مجدد.....
۱۰۰
- شکل ۱۴-۶ نمودار تغییرات ثابت شبکه‌ی $Y_3Fe_{5-x}In_xO_{12}$ تهیه شده به روش مکانوشیمیایی بر حسب مقدار
ایندیوم (x).....
۱۰۱
- شکل ۱۵-۶ منحنی مغناطش بر حسب دما مربوط به $Y_3Fe_{4.7}In_{0.3}O_{12}$ تهیه شده به روش
مکانوشیمیایی.....
۱۰۲
- شکل ۱۶-۶ منحنی مغناطش بر حسب دما مربوط به $Y_3Fe_{4.6}In_{0.4}O_{12}$ تهیه شده به روش
مکانوشیمیایی.....
۱۰۳
- شکل ۱۷-۶ تغییرات دمای کوری (T_C) $Y_3Fe_{5-x}In_xO_{12}$ تهیه شده به روش مکانوشیمیایی بر حسب مقدار
ایندیوم (x).....
۱۰۳
- شکل ۱۸-۶ منحنی‌های پسماند مغناطیسی مربوط به نمونه‌ی $Y_3Fe_{5-x}In_xO_{12}$ برای x‌های گوناگون، تهیه
شده به روش مکانوشیمیایی.....
۱۰۴
- شکل ۱۹-۶ نمودار تغییرات مغناطش اشباعی (M_S) نمونه‌های $Y_3Fe_{5-x}In_xO_{12}$ تهیه شده به روش
مکانوشیمیایی بر حسب مقدار ایندیوم (x).....
۱۰۴
- شکل ۲۰-۶ الگوی پراش پرتو X مربوط به نمونه‌ی $Y_3Fe_{4.7}In_{0.3}O_{12}$ پس از پخت در ۱۳۵۰ درجه‌ی سانتی
گراد.....
۱۰۵
- شکل ۲۱-۶ الگوهای پراش پرتو ایکس مربوط به $Y_3Fe_{4.7}In_{0.3}O_{12}$ پس از آسیاب‌کاری در زمان‌های
گوناگون.....
۱۰۶
- شکل ۲۲-۶ الگوهای پراش پرتو ایکس مربوط به گارنت‌های ایتریوم-آهن جانشانی شده با ایندیوم
($Y_3Fe_{5-x}In_xO_{12}$) پس از ۰/۵ ساعت آسیاب‌کاری با اسپکس.....
۱۰۶

عنوان

صفحه

شکل ۲۳-۶ نمودار تغییرات ثابت شبکه (a) بر حسب مقدار ایندیوم جانشانی شده (x).....	۱۰۷
شکل ۲۴-۶ منحنی‌های مغناطش برحسب دمای مربوط به نمونه‌های نانومتری برای مقادیر x برابر با الف- ۱۰۸.....۰.۱	۰.۲، ج-۰.۳، د-۰.۴
شکل ۲۵-۶ نمودار تغییرات دمای کوری $Y_3Fe_{5-x}In_xO_{12}$ تهیه شده به روش متداول سرامیکی همراه با آسیاب‌کاری برحسب مقدار ایندیوم (x).....	۱۰۹
شکل ۲۶-۶ منحنی‌های پسماند مغناطیسی مربوط به $Y_3Fe_{5-x}In_xO_{12}$ برای x‌های گوناگون تهیه شده به روش متداول سرامیکی همراه با آسیاب‌کاری $Y_3Fe_{4.8}In_{0.2}O_{12}$	۱۱۰
شکل ۲۷-۶ نمودار تغییرات مغناطش اشباعی (Ms) نمونه‌های $Y_3Fe_{5-x}In_xO_{12}$ تهیه شده به روش متداول سرامیکی همراه با آسیاب‌کاری برحسب مقدار ایندیوم (x).....	۱۱۰
شکل ۲۸-۶ نمودار تغییرات مغناطش اشباعی گارنت ایتریوم-آهن بر حسب مقدار جانشانی ایندیوم، تهیه شده به روش‌های گوناگون.....	۱۱۱
شکل ۲۹-۶ نمودار تغییرات نیروی وادارندگی گارنت ایتریوم-آهن بر حسب مقدار جانشانی ایندیوم، تهیه شده به روش‌های گوناگون.....	۱۱۲
شکل ۳۰-۶ نمودار تغییرات ثابت شبکه‌ی گارنت ایتریوم-آهن بر حسب مقدار جانشانی ایندیوم، تهیه شده به روش‌های گوناگون.....	۱۱۲

فهرست جداول

صفحه	عنوان
۱۵	جدول ۱-۱ داده‌های مربوط به چند گارنت ساده
۲۲	جدول ۱-۲ کاتیون‌های شناخته شده برای جانشانی به جای Fe^{3+} در جایگاه‌های چهاروجهی گارنت ایتریوم-آهن
۴۳	جدول ۲-۲ کاتیون‌های شناخته شده برای جانشانی به جای Fe^{3+} در جایگاه‌های هشت‌وجهی گارنت ایتریوم-آهن
۲۳	جدول ۳-۲ کاتیون‌های شناخته شده برای جانشانی به جای Y^{3+} در جایگاه‌های دوازده‌وجهی گارنت ایتریوم-آهن
۶۲	جدول ۱-۴ واکنش‌های شیمیایی به دست آمده به روش آلیاژسازی مکانیکی
۱۱۳	جدول ۱-۶ داده‌های مربوط به نمونه‌های $\text{Y}_3\text{Fe}_{5-x}\text{In}_x\text{O}_{12}$ تهیه شده به روش متداول سرامیکی همراه با آسیاب‌کاری در مدت‌های آسیاب‌کاری گوناگون

فصل اول

گارنت ها

مقدمه

از زمان کشف گارنت های فری مغناطیسی در سال ۱۹۵۶، انگیزه های علمی و فنی زیادی برای مطالعه‌ی آنها به وجود آمده است، زیرا این مواد به علت داشتن مقاومت بالا، در ساخت وسایل کههموجی کاربرد زیادی دارند. با وجود کاربرد بسیار زیاد مواد مغناطیسی در محیط های ضبط مغناطیسی، آهنرباهای دائمی، وسایل کههموجی و...، به منظور بهبود کاربردهای حاضر و همچنین گسترش کاربردهای جدید، شناخت کامل ویژگی های گارنت های فری مغناطیسی از اهمیت بالایی برخوردار است. گارنت های فری مغناطیسی برای مطالعات مغناطیسی بسیار مناسب‌اند زیرا این مواد توزیع کاتیونی معینی دارند و مشکل انحراف جایگاهی که می‌تواند در فریت‌ها رخ دهد را از خود نشان نمی‌دهند. YIG به دلیل ویژگی های بسیار جالب‌ش در سال ۱۹۷۰ مورد مطالعه قرار گرفت. برای مثال این ماده به عنوان مدلی برای مطالعات مغناطیسی از جمله وابستگی مغناطش ذاتی و منحنی پسماند به اندازه‌ی دانه در گستره‌ی میکرومتر به کار رفت [۲ و ۱]. با توجه به این مطالعات مدل مربوط به مکانیسم های مغناطیسی جابه‌جایی و بالا رفتن دیواره‌ها گسترش یافت.

شفافیت YIG در بالای 600 نانومتر آن را کاندیدای بالقوه‌ای برای گمانه‌ی اتمی-نوری ساخته است. به علاوه به دلیل